Инициализация сезонных ретроспективных прогнозов климатической модели INMCM5 с использованием техники притягивания

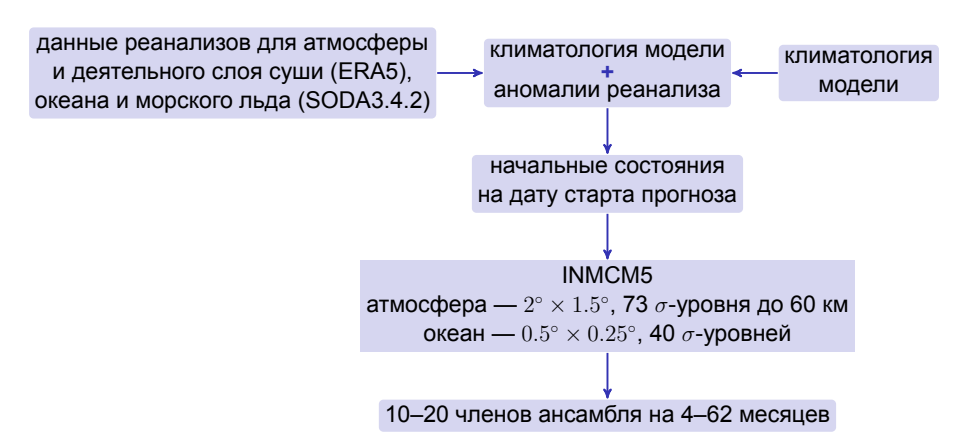
М. А. Тарасевич^{1,2,3}, Е. М. Володин^{1,2,3}

¹Институт вычислительной математики им. Г.И. Марчука Российской академии наук

²Московский физико-технический институт ³Гидрометцентр России

21 ноября 2024 г.

Использование INMCM5 для прогнозов на сезон и более



 Используется в Гидрометцентре России (ГМЦ) и СЕАКЦ для оперативного прогноза на 1–5 лет, входит в WMO LC ADCP

Инициализация полными полями данные реанализов для атмосферы климатология модели климатология и деятельного слоя суши (ERA5), модели аномалии реанализа океана и морского льда (SODA3.4.2) начальные состояния инициализация полными полями на дату старта прогноза INMCM5 атмосфера — $2^{\circ} \times 1.5^{\circ}$, 73 σ -уровня до 60 км океан — $0.5^{\circ} \times 0.25^{\circ}$, 40 σ -уровней

- Полными полями инициализируются:
 - ▶ в модели атмосферы температура и влажность воздуха, горизонтальные компоненты скорости ветра

20 членов ансамбля на 4-9 месяцев

- в модели океана температура и солёность океана, сплоченность и толщина морского льда, уровень моря
- Оперативный сезонный прогноз с INMCM6M в ГМЦ

Проблемы инициализации в терминах аномалий и в полных полях

- Поля основных прогностических переменных могут быть несогласованными с точки зрения динамики INMCM5
- Давление на поверхности можно инициализировать только в терминах аномалий из-за большой разницы в орографии между INMCM5 и ERA5
- Некорректная инициализация температуры и влажности почвы, так как в ERA5 эти данные доступны только на 4 вертикальных уровнях
- Некорректная инициализация водноэквивалентной толщины снежного покрова, так как при выпуске реанализа ERA5 данные соответствующих наблюдений не усваиваются

Климатический расчет с притягиванием

- Используются мгновенные 3-часовые поля температуры воздуха и горизонтальных компонент скорости ветра на 37 уровнях давления по данным реанализа ERA5
- Используются среднемесячные поля температуры и солёности океана на 50 вертикальных уровнях по данным реанализа SODA3.4.2
- Расчёт выполняется с 1 января 1990 по 31 декабря 2020 гг
- Во время расчёта сохраняются мгновенные состояния атмосферы и океана на 1 ноября каждого года

Уравнения гидротермодинамики атмосферы

$$\begin{split} \frac{du}{dt} - \left(f + \frac{u}{a} \operatorname{tg} \varphi\right) v + \frac{1}{a \cos \varphi} \left(\frac{\partial \Phi}{\partial \lambda} + \frac{RT}{p_s} \frac{\partial p_s}{\partial \lambda}\right) &= F_u + \frac{u_R - u}{\tau_{atm}}, \\ \frac{dv}{dt} + \left(f + \frac{u}{a} \operatorname{tg} \varphi\right) u + \frac{1}{a} \left(\frac{\partial \Phi}{\partial \varphi} + \frac{RT}{p_s} \frac{\partial p_s}{\partial \varphi}\right) \frac{\partial \Phi}{\partial \varphi} &= F_v + \frac{v_R - v}{\tau_{atm}}, \\ \frac{\partial \Phi}{\partial \sigma} &= -\frac{RT}{\sigma}, \\ \frac{dT}{dt} - \frac{RT}{p_s C_p} \left(\frac{\partial p_s}{\partial t} + \frac{u}{a \cos \varphi} \frac{\partial p_s}{\partial \lambda} + \frac{v}{a} \frac{\partial p_s}{\partial \varphi} + \frac{p_s \dot{\sigma}}{\sigma}\right) &= F_T + \varepsilon + \frac{T_R - T}{\tau_{atm}}, \\ \frac{dq}{dt} &= F_q - (C - E), \\ \frac{\partial p_s}{\partial t} + \frac{1}{a \cos \varphi} \left(\frac{\partial p_s u}{\partial \lambda} + \frac{\partial p_s v \cos \varphi}{\partial \varphi}\right) + \frac{\partial p_s \dot{\sigma}}{\partial \sigma} &= 0. \end{split}$$

• Характерное время релаксации выбрано $au_{\it atm} = 6$ ч

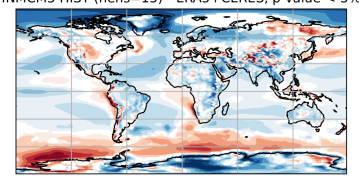
Уравнения гидротермодинамики океана

$$\begin{split} \frac{du}{dt} - (I + \xi)vH &= -\frac{H}{r_x} \left(\frac{1}{\rho_0} \frac{\partial (P + p_a)}{\partial x} - g \frac{\partial \zeta}{\partial x} \right) + \frac{\partial}{\partial \sigma} \frac{\nu}{H} \frac{\partial u}{\partial \sigma} + Fu, \\ \frac{dv}{dt} + (I + \xi)uH &= -\frac{H}{r_y} \left(\frac{1}{\rho_0} \frac{\partial (P + p_a)}{\partial y} - g \frac{\partial \zeta}{\partial y} \right) + \frac{\partial}{\partial \sigma} \frac{\nu}{H} \frac{\partial v}{\partial \sigma} + Fv, \\ \frac{d\theta}{dt} &= \frac{\partial}{\partial \sigma} \frac{\nu_\theta}{H} \frac{\partial \theta}{\partial \sigma} + D\theta - \frac{\partial R}{\partial \sigma} + \frac{\theta_R - \theta}{\tau_{oc}}, \\ \frac{dS}{dt} &= \frac{\partial}{\partial \sigma} \frac{\nu_S}{H} \frac{\partial S}{\partial \sigma} + DS + \frac{S_R - S}{\tau_{oc}}, \\ \rho &= \tilde{\rho}(\theta, S, P), \end{split}$$

• Характерное время релаксации выбрано $au_{oc}=7$ суток

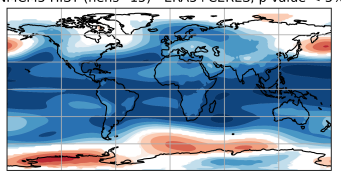
Результаты притягивания

Annual deviation of Near-Surface Air Temperature, K. INMCM5 HIST (nens=15) - ERA5+CERES, p-value < 5%



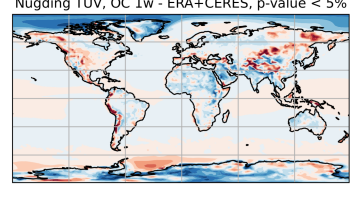
Historical, RMSE=2.0 K

Annual deviation of Geopotential Height at 500hPa, m INMCM5 HIST (nens=15) - ERA5+CERES, p-value < 5%



Historical. RMSE=43 м

Annual deviation of Near-Surface Air Temperature, K Nugding TUV, OC 1w - ERA+CERES, p-value < 5%

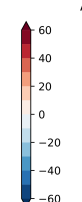


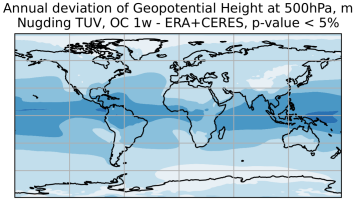
Nudging, RMSE=1.4 K

- 60

20

-20



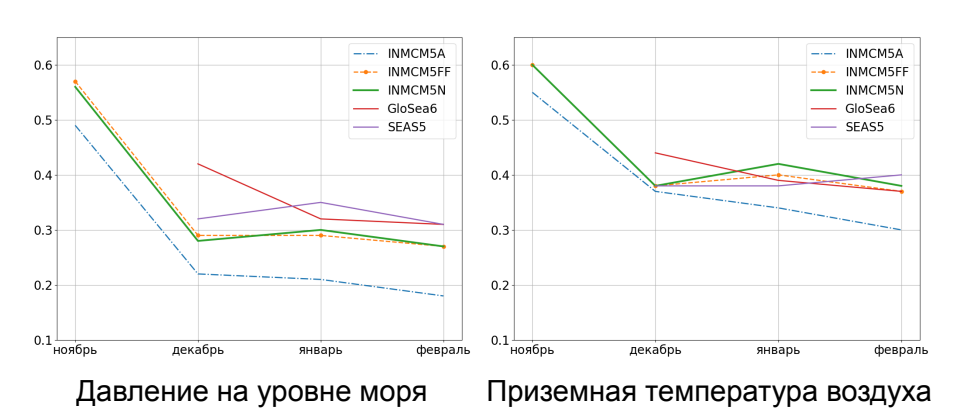


Nudging, RMSE=24 м

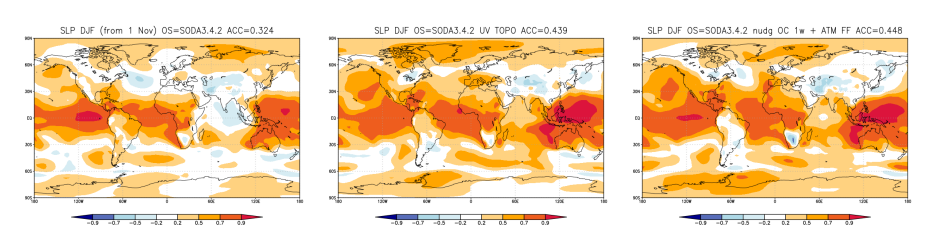
Ретроспективные прогнозы на зимние сезоны 1993/1994—2009/2010 гг

- Для инициализации деятельного слоя суши и модели океана используются результаты расчёта эксперимента с притягиванием
- Модель атмосферы инициализируется полными полями реанализа ERA5
- Для задания начального состояния морского льда используются полные поля реанализа SODA3.4.2
- Расчеты стартуют 1 ноября 1991–2020 гг и длятся 5 модельных месяцев
- Результаты ретроспективных прогнозов на зимние сезоны 1993–2009 гг сравниваются с INMCM5, инициализированной в терминах аномалий и в полных полях, а также с SEAS5 (ECMWF) и GloSea6 (MetOffice)

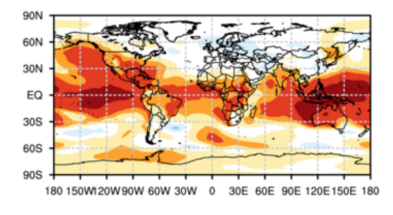
Изменение коэффициента корреляции аномалий



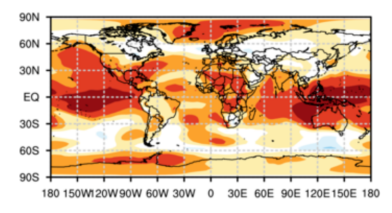
Давление на уровне моря



INMCM5A, ACC=0.32 INMCM5F, ACC=0.44 INMCM5N, ACC=0.45

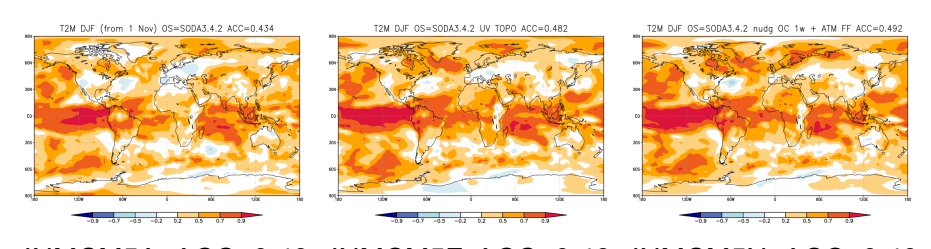


SEAS5, ACC=0.44

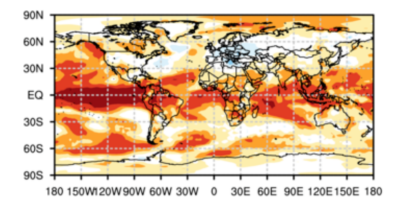


GloSea6, ACC=0.52

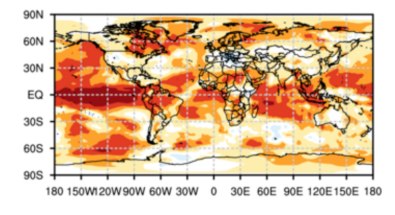
Приземная температура воздуха



INMCM5A, ACC=0.43 INMCM5F, ACC=0.48 INMCM5N, ACC=0.49



SEAS5, ACC=0.47



GloSea6, ACC=0.50

Выводы

- Проведение расчёта с притягиванием значительно приближает климат INMCM5 к наблюдаемому
- Полученные в результате такого расчёта начальные данные можно использовать для инициализации INMCM5 в сезонном прогнозе
- Качество ретроспективных прогнозов INMCM5 на зимние сезоны находится на уровне лучших систем сезонного прогноза
- Результаты серии зимних ретроспективных прогнозов, в которой при инициализации INMCM5 использовались данные расчёта с притягиванием, оказались несколько лучше по сравнению с теми, где INMCM5 инициализировалась полными полями

Спасибо за внимание!

Вопросы?

mashatarasevich@gmail.com